

**МЕХАНИКА  
ЖИДКОСТИ И ГАЗА**  
**№ 1 • 1975**

УДК 532.595+612.13

**ВОЛНОВЫЕ ДВИЖЕНИЯ ЖИДКОСТИ В ТРУБКАХ  
ИЗ ВЯЗКОУПРУГОГО МАТЕРИАЛА. ВОЛНЫ МАЛОЙ АМПЛИТУДЫ**

**С. А. РЕГИРЕР, И. М. РУТКЕВИЧ**

(*Москва*)

Податливость стенок кровеносных сосудов является одним из основных факторов, определяющих движение крови. Хотя этой проблеме посвящена обширная литература (см., например, сборник [1] и библиографию в нем), остаются мало изученными важные для физиологии специфические эффекты, связанные с присутствием в сосудистой стенке мышечных слоев. Эти эффекты грубо могут быть охарактеризованы как существенное изменение реологических свойств стенки в результате активной деятельности сосудистой мускулатуры. Последняя, в свою очередь, управляет не только внешними, немеханическими воздействиями, но и самим напряженным состоянием стенки (см., например, [2]).

Эксперименты свидетельствуют о наличии у стенок сосудов временных эффектов, характерных для вязкоупругих тел ([1]), и сложной статической характеристики «давление – радиус», которая может иметь падающий участок [3, 4]. Оба эти факта могут быть разумно истолкованы в рамках общей континуальной модели мышечной ткани, предложенной в [5].

Ниже в квазиодномерном приближении исследуется совместное влияние указанных особенностей материала стенок на поведение малых возмущений, наложенных на стационарное течение в трубке. Рассмотрены возможные типы неустойчивостей. Предполагается, что инерционные эффекты несущественны, а реологический закон для стенки есть нелинейное обобщение модели Пойнтинга.

1. Рассмотрим неустановившееся осесимметричное течение несжимаемой вязкой жидкости по длинной трубе  $r \leq R(x, t)$ ,  $0 \leq x \leq L$  с непроницаемой стенкой. Предположим, что выполнены условия применимости квазиодномерного (гидравлического) приближения, причем инерционные силы пренебрежимо малы. Тогда средняя скорость  $u(x, t)$ , мгновенный расход  $g(x, t)$ , сечение трубы  $F(x, t)$  и среднее давление  $p(x, t)$  связаны уравнениями

$$(1.1) \quad g = uF, \quad F = \pi R^2$$

$$(1.2) \quad \partial p / \partial x = -8\pi\mu g / F^2$$

$$(1.3) \quad \partial F / \partial t + \partial g / \partial x = 0$$

Для замыкания системы (1.1) – (1.3) ее нужно дополнить связью между давлением  $p$  и радиусом  $R$ . Предположим, что трубка с жидкостью помещена во внешнюю среду, характеризуемую давлением  $p_e$  на поверхности  $r = R + h$ , где  $h(x, t)$  – толщина стенки. Пренебрегая радиальными силами инерции, действующими на элемент стенки, запишем условие его равновесия

$$(1.4) \quad Rp - (R+h)p_e = \sigma h, \quad \sigma = \langle \sigma_{\theta\theta} \rangle = h^{-1} \int_R^{R+h} \sigma_{\theta\theta} dr$$

Здесь  $\sigma_{\theta\theta}$  – азимутальное нормальное напряжение в стенке. Примем, что стенка ведет себя как упругое тело при квазистатическом и мгновенном нагружениях, обладая при этом свойством запаздывающей упругости, обусловленным вязкостью. Ограничивааясь достаточно тонкими стенками

$(h/R \ll 1)$  и пренебрегая неоднородностью в распределении напряжения  $\sigma_{\theta\theta}$  и деформации  $\varepsilon_{\theta\theta}$  по толщине стенки, запишем одномерное модельное реологическое уравнение

$$(1.5) \quad \frac{\partial \sigma}{\partial t} + \Phi(\sigma, \varepsilon) = K(\sigma, \varepsilon) \frac{\partial \varepsilon}{\partial t} \quad (\varepsilon = R/R_0 - 1, K(\sigma, \varepsilon) > 0)$$

Деформация  $\varepsilon$  введена по отношению к состоянию с  $R=R_0$ , когда в стенке отсутствуют внутренние напряжения. Уравнение (1.5) представляет собой нелинейную модификацию вязкоупругого тела Пойнтинга [6]. Величина  $K(\sigma, \varepsilon)$  имеет смысл мгновенного упругого модуля, а функция  $\Phi(\sigma, \varepsilon)$  определяет поведение материала при низких частотах. Для стационарных процессов (1.5) задает связь между  $\sigma$  и  $\varepsilon$  в виде  $\Phi=0$ .

Предположим, что материал стенки несжимаем и продольная составляющая деформации отсутствует [7]. Тогда площадь кольца  $R \leq r \leq R+h$  сохраняется в процессе деформации, что при малых  $h/R_0$  выражается приближенной формулой

$$(1.6) \quad h = h_0(1+\varepsilon)^{-1}$$

Если функция  $p_e(x, t)$  задана, то уравнения (1.1)–(1.6) образуют замкнутую систему. Исключая  $F, R, \sigma, h$  при помощи конечных соотношений (1.1), (1.4)–(1.6), приходим к нелинейной системе трех дифференциальных уравнений (1.2), (1.3) и (1.5) относительно скорости (или расхода), давления и деформации. Начальные и граничные условия для этой системы должны быть сформулированы исходя из физических соображений и требований корректности математической постановки задачи.

2. Система уравнений (1.1)–(1.6) допускает стационарное решение, отвечающее течению с заданным расходом, такое, что  $g=g_*=\text{const}$ , а осьальные переменные — функции координаты  $x$ . Решение с однородным распределением параметров существует при  $g_*=0$  (ниже все параметры стационарного потока отмечаются звездочкой).

Для нахождения решения необходимо проинтегрировать дифференциальное уравнение

$$(2.1) \quad F^2(\varepsilon_*) \frac{dp_*}{dx} = -8\pi \mu g_*, \quad F = \pi R_0^2 (1+\varepsilon_*)^2$$

Входящая сюда зависимость  $\varepsilon_* = \varepsilon_*(p_*)$  получается исключением  $R_*$ ,  $\sigma_*$ ,  $h_*$  из конечных уравнений (1.4), (1.5). При этом внешнее давление  $p_e^*(x)$  войдет в функцию  $\varepsilon_*(p_*)$  как параметр.

При однозначной зависимости  $\varepsilon_*(p_*)$ , отвечающей монотонной или  $S$ -образной характеристике на плоскости  $(\varepsilon_*, p_*)$ , всегда можно построить непрерывное решение уравнения (2.1). Единственность решения обеспечивается заданием давления в некотором сечении  $x=\text{const}$ .

Если функция  $\varepsilon_*(p_*)$  неоднозначна (например, при  $N$ -образной статической характеристике), то ситуация осложняется. В этом случае нельзя реализовать в течении непрерывный переход с падающей на возрастающую ветвь характеристики, так как, согласно (2.1), давление должно монотонно убывать вниз по потоку. Математически этот факт выражается в появлении особой точки у уравнения, получаемого из (2.1) переходом к зависимой переменной  $\varepsilon_*$ . Особая точка соответствует сечению, в котором  $dp_*/d\varepsilon_*=0$ . Тем не менее для трубки конечной длины при умеренном расходе можно построить непрерывное решение, для которого во всем течении значения  $\varepsilon_*$  лежат на падающем участке  $N$ -образной характеристики. Заметим, что в области течения, где  $dp_*/d\varepsilon_* < 0$ , радиус трубы увеличивается вниз по потоку.

Аналогичные соображения верны и для решений с неизвестным расходом и граничными условиями на двух концах трубы.

Стационарное течение, удовлетворяющее условию  $dp_*/d\epsilon_* < 0$  вдоль всей трубы, существует, если

$$(2.2) \quad L \leq L_p = (\Delta p)_{\max} R_c^2 / 8\mu u_c$$

Здесь  $R_c$ ,  $u_c$  — характерные значения радиуса и скорости, а  $(\Delta p)_{\max}$  — максимальная разность давлений между точками падающего участка статической характеристики  $p_*(\epsilon_*)$ .

Далее будет исследована устойчивость такого течения. Для малых возмущений параметров вида  $\delta f = f(x, t) - f_*(x)$  будут использованы уравнения, полученные линеаризацией уравнений (1.1)–(1.6). Коэффициенты этих уравнений принимаются постоянными, а решения ищутся в виде гармонических плоских волн. Такое приближение справедливо, если выполнено условие  $kL_p \gg 1$ , где  $k$  — волновое число, а  $L_p$  определено в (2.2). Если невозмущенное решение соответствует покоящейся жидкости, то  $L_p = \infty$ , и ограничение на длину волны снимается ввиду строгого постоянства коэффициентов линеаризованной системы.

Остановимся на линеаризованном уравнении (1.5), которое принимает вид

$$(2.3) \quad (1 - \lambda \partial / \partial t) \delta\sigma = E (1 - \gamma \partial / \partial t) \delta\epsilon \\ \lambda = -(\partial\Phi / \partial\sigma)_*^{-1}, \quad \gamma = K_* (\partial\Phi / \partial\epsilon)_*^{-1}, \quad E = \lambda K_* / \gamma$$

Если в плоскости  $(\epsilon_*, \sigma_*)$  статическая характеристика  $\Gamma_\sigma$ , определяемая уравнением  $\Phi = 0$ , имеет падающий участок, то должно быть  $E < 0$ . Поскольку  $K_* > 0$ , величины  $\lambda$  и  $\gamma$  будут иметь разные знаки. При этом либо  $\lambda > 0$ ,  $\gamma < 0$ , либо  $\lambda < 0$ ,  $\gamma > 0$ . Первый случай соответствует росту возмущения  $\delta\sigma$  при фиксированной деформации, характерному для материала с  $S$ -образной характеристикой  $\Gamma_\sigma$ ; второй случай — росту возмущения деформации при фиксированном напряжении, возникающему при наличии  $N$ -образной характеристики.

Воспользуемся следствием линеаризованного уравнения (1.4)

$$(2.4) \quad \delta\sigma = a\delta\epsilon + b\delta\rho \\ a = 2(p_e^* + \sigma_*) / (1 + \epsilon_*), \quad b = (1 + \epsilon_*^2) / \xi, \quad \xi = h_0 / R_0$$

Подставляя  $\delta\sigma$  из (2.4) в (2.3), придем к следующей связи:

$$(2.5) \quad (1 - \lambda \partial / \partial t) \delta\rho = G (1 + \theta \partial / \partial t) \delta\epsilon, \quad G = (E - a) / b, \\ \theta = \lambda(a - K_*) / (E - a)$$

Здесь  $G = dp_*/d\epsilon_*$  имеет смысл дифференциального модуля упругости на падающем участке статической характеристики  $\Gamma_p$  в плоскости  $(\epsilon_*, p_*)$ . Так как давление  $p$  однозначно определяется заданием величин  $\sigma$  и  $\epsilon$  в соответствии с (1.4), то участок  $S$ -типа на характеристике  $\Gamma_\sigma$  переходит в аналогичный участок на характеристике  $\Gamma_p$ . Участок  $N$ -типа на  $\Gamma_\sigma$  переходит либо в аналогичный участок на  $\Gamma_p$ , либо в однозначную спадающую ветвь зависимости  $p_*(\epsilon_*)$ . Подчеркнем, что такая ветвь, а также участок  $N$ -типа могут существовать на характеристике  $\Gamma_p$  и при монотонно возрастающей зависимости  $\sigma_*(\epsilon_*)$ . Для этого достаточно выполнения неравенства  $a > E$ , которое при  $p_e = \text{const}$  эквивалентно условию

$$d \ln(p_e + \sigma_*) / d \ln(1 + \epsilon_*) < 2.$$

Физический смысл указанного результата вытекает из анализа условия равновесия оболочки (1.4). При конечных деформациях внутреннее давление будет возрастать с увеличением радиуса трубы лишь при достаточно интенсивном росте растягивающего напряжения  $\sigma$ . В дальнейшем, говоря о типе характеристики, будем иметь в виду линию  $\Gamma_p$ .

Высокочастотный модуль  $H$ , определяющий связь между мгновенными приращениями давления и деформации

$$(2.6) \quad H = -G\theta/\lambda = (K_* - a)/b$$

будем предполагать положительным. Это обеспечивается неравенством  $a < K_*$ . Тогда при  $G < 0$  величины  $\lambda$  и  $\theta$  должны иметь одинаковый знак, причем  $\lambda > 0$ ,  $\theta > 0$  для характеристики  $S$ -типа и  $\lambda < 0$ ,  $\theta < 0$  для характеристики  $N$ -типа.

После линеаризации уравнений (1.2) и (1.3) и исключения из получившихся соотношений возмущения расхода  $\delta g$  придем к уравнению

$$(2.7) \quad \left( \frac{\partial}{\partial t} + 2u_* \frac{\partial}{\partial x} \right) \delta \varepsilon = \frac{R_*^3}{16\mu R_0} \frac{\partial^2}{\partial x^2} \delta p$$

Применяя к обеим частям (2.8) оператор  $G(1 + \theta \partial / \partial t)$  и используя формулу (2.5), получим уравнение третьего порядка

$$(2.8) \quad \left[ \left( \frac{\partial}{\partial t} + 2u_* \frac{\partial}{\partial x} \right) \left( 1 - \lambda \frac{\partial}{\partial t} \right) + \eta \left( 1 + \theta \frac{\partial}{\partial t} \right) \frac{\partial^2}{\partial x^2} \right] \delta p = 0$$

$$\eta = -GR_*^3 / 16\mu R_0 > 0; \quad u_* \geq 0$$

Такому же уравнению удовлетворяет и возмущение деформации.

Заметим, что отказ от требования  $H > 0$  приведет к неэволюционности линеаризованной системы уравнений. При  $H < 0$  должна возникать весьма быстрая раскачка мелкомасштабных возмущений. Для ее корректного описания требуется построение соответствующей эволюционной модели, выходящее за рамки данной работы. Построения такого рода проводились при исследовании волн в вязкоупругой жидкости [8]. Пренебрежение временными эффектами в реологическом поведении стеноок трубы ( $\lambda = \theta = 0$ ) привело бы вместо (2.8) к неэволюционному уравнению параболического типа.

3. Для решений вида  $\delta p \sim \exp i(kx - \omega t)$  на основании (2.8) получаем дисперсионное уравнение

$$(3.1) \quad \lambda \omega^2 + (i\eta\theta k^2 - 2\lambda u_* k - i) \omega - \eta k^2 + 2iu_* k = 0$$

При анализе устойчивости будем изучать поведение комплексной функции  $\omega(k)$  при вещественных значениях  $k$ . В случае положительных параметров  $\lambda$  и  $\theta$  обозначим комплексную частоту через  $\omega_s$ , в случае отрицательных  $\lambda$  и  $\theta$  — через  $\omega_n$ . На основании (3.1) устанавливается следующая связь:

$$\omega_n(k; \lambda, \theta, u_*) = -\omega_s(ik; -\lambda, -\theta, iu_*)$$

Введем безразмерные переменные

$$(3.2) \quad \kappa = \sqrt{\eta|\theta|} |k|, \quad \beta = 2|\lambda|u_* \sqrt{\eta|\theta|}, \quad \tau = \lambda/\theta, \quad \Omega_s = |\lambda| \omega_s,$$

$$\Omega_n = |\lambda| \omega_n$$

Каждая из комплексных функций  $\Omega_s$ ,  $\Omega_n$  имеет две однозначные ветви, зависящие от трех вещественных аргументов  $\kappa$ ,  $\beta$  и  $\tau$ . Эти ветви определяются выражениями

$$(3.3) \quad \Omega_s^{(1,2)} = \frac{1}{2} [\beta\kappa + i(1-\kappa^2) \pm \sqrt{D}]$$

$$D(\kappa; \beta, \tau) = -(1-\kappa^2)^2 + (4\tau + \beta^2)\kappa^2 - 2i\beta\kappa(1+\kappa^2)$$

$$\Omega_n^{(1,2)}(\kappa; \beta, \tau) = -\Omega_s^{(1,2)}(ik; i\beta, \tau)$$

Для функции  $\sqrt{D}$  в (3.3) выбрана ветвь, принимающая при  $\kappa=0$  значение, равное  $i$ .

Исследуем поведение ветвей  $\Omega_s^{(1,2)}$ . Можно убедиться, что  $\text{Im } \Omega_s^{(1,2)}$  — четные, а  $\text{Re } \Omega_s^{(1,2)}$  — нечетные функции параметра  $\kappa$ . Имеют место следующие неравенства:

$$(3.4) \quad \text{Im } \Omega_s^{(1)} > 0 \quad |\kappa| < \kappa_s^{(1)}; \quad \text{Im } \Omega_s^{(2)} \geq 0 \quad |\kappa| < \kappa_s^{(2)}$$

$$\kappa_s^{(1,2)} = \sqrt{1+M_s^2} \pm M_s, \quad M_s = u_*/c_s, \quad c_s = \sqrt{\eta/\lambda}$$

Таким образом, в случае  $S$ -образной характеристики возникает длинноволновая неустойчивость стационарного потока, причем максимальным инкрементом обладает однородное возмущение ( $\kappa=0$ ), для которого  $\text{Im } \Omega_s^{(1)} = -1$ . Величина  $c_s$ , определенная в (3.4), имеет смысл скорости звука в модели с нулевым временем ретардации  $\theta$  на покоящемся фоне ( $u_*=0$ ). В этом случае (2.9) переходит в обычное волновое уравнение с характеристической скоростью  $c_s$ . Диапазон неустойчивых длин волн расширяется с ростом скорости потока благодаря возрастанию параметра  $\kappa_s^{(1)}$ .

При  $\kappa = \kappa_s^{(1,2)}$  существуют консервативные волны, распространяющиеся без затухания или раскачки с фазовыми скоростями

$$(3.5) \quad V_s^{(1,2)} = u_* \mp \sqrt{c_s^2 + u_*^2}$$

Следовательно, происходит «дозвуковое» распространение короткой консервативной волны вверх по потоку и «сверхзвуковое» распространение длинной волны вниз по потоку. Частота колебаний одинакова для обеих волн и равна  $1/\sqrt{\lambda\theta}$ .

Поведение функций  $\text{Im } \Omega_s^{(1,2)}$  и  $\text{Re } \Omega_s^{(1,2)}$  в зависимости от  $\kappa$  при  $\tau=1$  (когда  $2M_s=\beta$ ) и разных значениях  $\beta$  представлено на фигуре сплошными линиями.

В случае  $N$ -образной статической характеристики свойства волн существенно отличаются от разобранных выше. Если  $u_* < c_n = \sqrt{\eta/\lambda}$ , то ветвь  $\Omega_n^{(2)}$  неустойчива для всех значений  $\kappa \neq 0$ . При  $u_* > c_n$  эта ветвь имеет область устойчивости

$$(3.6) \quad \kappa_n^{(2)} < |\kappa| < \kappa_n^{(1)} \quad (1 < M_n < M_0)$$

$$\kappa_n^{(2)} < |\kappa| < \infty \quad (M_n > M_0)$$

$$\kappa_n^{(1,2)} = M_n \pm \sqrt{M_n^2 - 1}, \quad M_n = u_*/c_n, \quad M_0 = \sqrt{1+\tau}$$

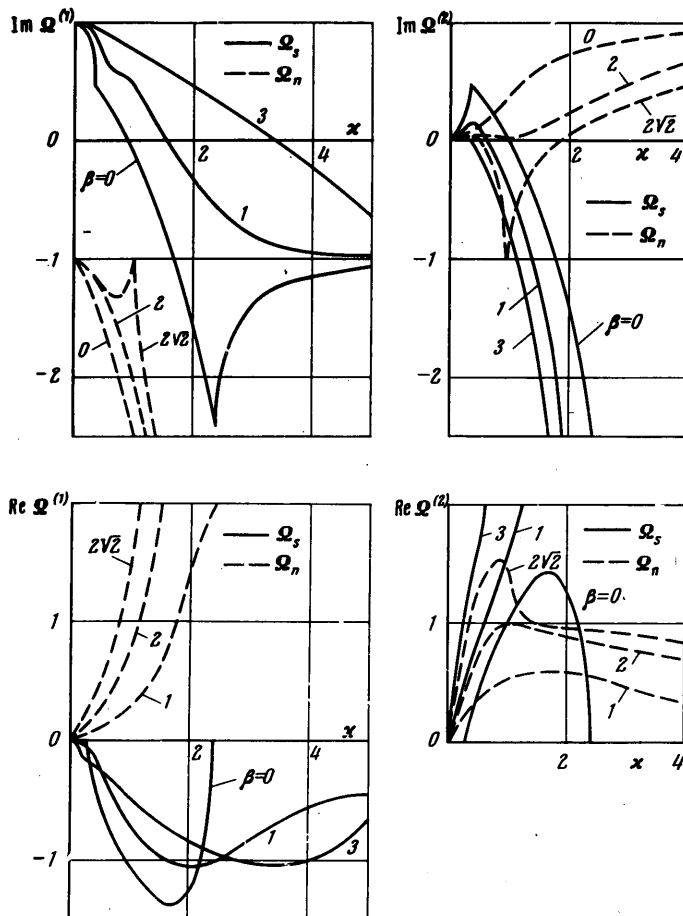
Ветвь  $\Omega_n^{(1)}$  устойчива для всех длин волн при  $M_n < M_0$ , а в случае  $M_n > M_0$  обладает интервалом неустойчивости  $|\kappa| > \kappa_n^{(1)}$ . В целом увеличение скорости потока оказывает стабилизирующее воздействие, приводя к уменьшению инкремента, а при  $M_n > M_0$  — к расширению устойчивого средневолнового диапазона ( $\kappa_n^{(2)}, \kappa_n^{(1)}$ ). В коротковолновой области всегда имеет место неустойчивость, инкремент которой максимальен при  $\kappa \rightarrow \infty$ .

В отличие от величины  $c_s$ , введенной для модели с  $S$ -образной характеристикой, параметр  $c_n$  нельзя интерпретировать как скорость звука, так как при  $\theta=0$ ,  $u_*=0$  и  $\lambda < 0$  уравнение (2.8) неэволюционно.

Консервативные волны в рассматриваемом случае существуют только при  $u_* > c_n$  и соответствуют безразмерным волновым числам  $\kappa_n^{(1)}, \kappa_n^{(2)}$ . Обе волны распространяются вниз по потоку со скоростями

$$(3.7) \quad V_n^{(1,2)} = u_* \mp \sqrt{u_*^2 - c_n^2}$$

Частота колебаний для обеих волн равна  $1/\sqrt{\lambda\theta}$ . Заметим, что консервативные волны в моделях с  $S$ - и  $N$ -образными характеристиками существуют, если при  $\theta=0$  уравнение (2.9) принадлежит к гиперболическому типу. На фигуре штриховыми линиями изображены зависимости  $\operatorname{Im} \Omega_n^{(1,2)}$  и  $\operatorname{Re} \Omega_n^{(1,2)}$  от параметра  $\kappa$  при  $\tau=1$  и разных значениях  $\beta \leq 2M_0$ .



Асимптотическое поведение ветвей функций  $\Omega_s$  и  $\Omega_n$  при  $\kappa \rightarrow \infty$  определяется формулами:

$$(3.8) \quad \operatorname{Im} \Omega_s^{(1)} = -\tau + O(\kappa^{-2}), \quad \operatorname{Re} \Omega_s^{(1)} = O(\kappa^{-1})$$

$$\operatorname{Im} \Omega_s^{(2)} = -\kappa^2 + O(1), \quad \operatorname{Re} \Omega_s^{(2)} = \beta\kappa + O(\kappa^{-1})$$

$$\operatorname{Im} \Omega_n^{(2)} = \tau + O(\kappa^{-2}), \quad \operatorname{Re} \Omega_n^{(2)} = O(\kappa^{-1})$$

$$\operatorname{Im} \Omega_n^{(1)} = -\kappa^2 + O(1), \quad \operatorname{Re} \Omega_n^{(1)} = \beta\kappa + O(\kappa^{-1})$$

Формулы (3.8), относящиеся к величинам  $\Omega_n^{(1,2)}$ , справедливы при  $M_n \leq M_0$ . В случае  $M_n > M_0$  в них следует поменять местами  $\Omega_n^{(1)}$  и  $\Omega_n^{(2)}$ .

Рассмотрим теперь вопрос о характере неустойчивости волновых пакетов в системах с  $S$ - и  $N$ -образными характеристиками. Функция  $k(\omega)$ , со-

ответствующая дисперсионному уравнению (3.1), имеет две ветви, определяемые выражениями

$$(3.9) \quad k_{1,2}(\omega) = \frac{-i\tau u_*(\omega - i/\lambda) \pm \sqrt{i\tau\eta(\omega - i/\lambda)\psi(\omega)}}{\eta(\omega + i/\theta)}$$

$$\psi(\omega) = \omega^2 + i\tau(u_*^2/\eta + 1/\lambda)\omega + u_*^2\tau/\lambda\eta$$

Точки ветвления, в которых  $k_1 = k_2$ , суть  $\omega = \omega_1$ ,  $\omega = \omega_2$  и  $\omega = i/\lambda$ , где  $\omega_{1,2}$  — корни функции  $\psi(\omega)$ .

Анализируя расположение точек ветвления, можно показать, что (см. [9]) система с  $S$ -образной характеристикой всегда абсолютно неустойчива, а в системе с характеристикой  $N$ -типа неустойчивость будет абсолютной при  $u_* < c_n$  и конвективной при  $u_* > c_n$ .

4. Пусть теперь течение происходит в трубе конечной длины  $L$ , на концах которой заданы некоторые условия, не зависящие явно от времени. В качестве таких условий примем неизменность гидравлических сопротивлений  $Z^\pm$  и давлений  $p^\pm$  на входе в трубку и на выходе из нее, т. е. положим

$$(4.1) \quad p^+ - p = Z^+ g \quad (x=0), \quad p - p^- = Z^- g \quad (x=L) \quad (p^\pm, Z^\pm = \text{const})$$

$$(4.2) \quad -\delta p = Z^+ \delta g \quad (x=0), \quad \delta p = Z^- \delta g \quad (x=L)$$

Исключая  $\delta g$  при помощи уравнений п.2, вместо (4.2) найдем

$$(4.3) \quad \left[ 2u_* \left( 1 - \lambda \frac{\partial}{\partial t} \right) + \eta \left( 1 + \theta \frac{\partial}{\partial t} \right) \left( \zeta^+ + \frac{\partial}{\partial x} \right) \right] \delta p = 0 \quad (x=0)$$

$$\left[ 2u_* \left( 1 - \lambda \frac{\partial}{\partial t} \right) + \eta \left( 1 + \theta \frac{\partial}{\partial t} \right) \left( -\zeta^- + \frac{\partial}{\partial x} \right) \right] \delta p = 0 \quad (x=L)$$

$$(\zeta^\pm = 8\pi\mu/F_*^2 Z^\pm)$$

В предельном случае, когда  $\zeta^\pm \rightarrow \infty$ , получаем условия фиксированного давления  $\delta p = 0$  ( $x=0, x=L$ ).

Частное решение уравнения (2.9) запишем в виде

$$(4.4) \quad \delta p = e^{-i\omega t} [C_1 \exp ik_1(\omega)x + C_2 \exp ik_2(\omega)x]$$

где  $k_1, k_2$  определены формулой (3.9).

Удовлетворяя условиям (4.3), получим после преобразований уравнение для собственных значений  $\omega$

$$(4.5) \quad \operatorname{tg} vL = \frac{v(\zeta^+ + \zeta^-)}{v^2 - (\zeta^+ + i\rho)(\zeta^- - i\rho)}, \quad v = \frac{1}{2}(k_1 - k_2), \quad \rho = \frac{1}{2}(k_1 + k_2)$$

При выводе (4.5) предполагалось, что  $e^{-i\rho L} \neq 0$ , т. е. что  $\operatorname{Im} \rho$  не обращается в  $-\infty$  (в противном случае должно быть  $\omega = -i/\theta$ , однако это значение  $\omega$  никогда не является собственным).

Заметим, что (4.5) всегда имеет решение  $v=0$ , которому соответствует только тривиальное решение исходной задачи.

Уравнение (4.6) приобретает простой вид  $\operatorname{tg} vL = 0$  при  $\zeta^+ = \zeta^- = 0$  или  $\zeta^+ \rightarrow \infty, \zeta^- \rightarrow \infty$ . Тогда  $vL = \pi n, n = \pm 1, \pm 2, \dots$  и согласно (3.9)

$$(4.6) \quad \frac{\pi^2 n^2}{L^2} = \frac{i\tau(\omega - i/\lambda)\psi(\omega)}{\eta(\omega + i/\theta)^2}$$

Отсюда для  $s = -i\omega$  следует уравнение:

$$(4.7) \quad \eta\lambda\theta s^3 + [u_*^2\lambda^2 + \eta(\lambda - \theta) + \eta^2\theta^2\pi^2n^2/L^2]s^2 - (2u_*^2\lambda + \eta - 2\eta^2\theta\pi^2n^2/L^2)s + u_*^2 + \eta^2\pi^2n^2/L^2 = 0$$

Условие устойчивости  $\operatorname{Im} \omega < 0$  или  $\operatorname{Re} s < 0$  будет выполнено, если коэффициенты (4.7) удовлетворяют неравенствам, вытекающим из теоремы Раусса — Гурвица. Поскольку старший коэффициент и свободный член в (4.7) положительны, то существенны лишь неравенства

$$(4.8) \quad \begin{aligned} u_*^2\lambda^2 + \eta(\lambda - \theta) + \eta^2\theta^2\pi^2n^2/L^2 &> 0 \\ -[u_*^2\lambda^2 + \eta(\lambda - \theta) + \eta^2\theta^2\pi^2n^2/L^2](2u_*^2\lambda + \eta - 2\eta^2\theta\pi^2n^2/L^2) - \eta\lambda\theta(u_*^2 + \eta^2\pi^2n^2/L^2) &> 0 \end{aligned}$$

Для системы  $S$ -типа ( $\lambda > 0, \theta > 0$ ) положим  $M_s^2 = \lambda u_*^2 / \eta, N^2 = \pi^2 n^2 \eta \theta / L^2$ ; тогда

$$\begin{aligned} N^2 + (M_s^2 + 1)\tau - 1 &> 0 \\ [1 - (M_s^2 + 1)\tau - N^2](2M_s^2 + 1 - 2N^2) - M_s^2 - \tau N^2 &> 0 \end{aligned}$$

Из второго неравенства следует, что имеет место одно из неравенств

$$(4.9) \quad N^2 > M_s^2 + 1 \equiv a_1 \quad N^2 < 1/2 - \tau(M_s^2 + 1/2) \equiv a_2$$

причем одновременно должно быть  $N^2 > 0$  и согласно первому неравенству  $N^2 > 1 - \tau(M_s^2 + 1) \equiv a_3$ .

Замечая, что  $a_3 < a_1$ , легко получаем условие устойчивости при  $a_2 < 0$  в виде

$$(4.10) \quad N^2 > M_s^2 + 1$$

При  $a_2 \geq 0$ , поскольку  $a_3 = 2a_2 + \tau M_s^2 \geq a_2$ , приходим к тому же самому условию. Если (4.10) выполнено для  $n = \pm 1$ , то оно выполнено и для всех других  $n$ ; следовательно, согласно (4.10), система устойчива при

$$(4.11) \quad L < \pi\sqrt{\eta\theta}/\sqrt{M_s^2 + 1}$$

Для систем  $N$ -типа ( $\lambda < 0, \theta < 0$ ) положим  $M_n^2 = -\lambda u_*^2 / \eta, N^2 = -\pi^2 n^2 \eta \theta / L^2$ ; тогда из (4.8) следует:

$$\begin{aligned} N^2 + (M_n^2 - 1)\tau + 1 &> 0 \\ -[1 + (M_n^2 - 1)\tau + N^2](2N^2 + 1 - 2M_n^2) - M_n^2 - \tau N^2 &> 0 \end{aligned}$$

Простые рассуждения показывают, что положительное решение этой системы неравенств, если оно существует, имеет вид

$$(4.12) \quad \max(0, b_3) < N^2 < \max(b_1, b_2) \quad b_1 = -1/2 - \tau(M_n^2 - 1/2), \quad b_2 = M_n^2 - 1, \quad b_3 = -1 - \tau(M_n^2 - 1)$$

Очевидно, что (4.12) не может быть выполнено для всех  $n$  одновременно, и потому система  $N$ -типа неустойчива.

Заметим, что уже из результатов п. 3 можно было заключить, что система  $N$ -типа неустойчива при любой конечной длине трубы из-за раскачки коротковолновых возмущений, а система  $S$ -типа устойчива при достаточно малой длине. Порядок величины этой длины, как видно из (3.4), определяется неравенством

$$(4.13) \quad L < 2\pi\sqrt{\eta\theta}/(M_s + \sqrt{M_s^2 + 1})$$

которое при больших  $M_s$  асимптотически совпадает с (4.11). Точная формула (4.11) дает при граничных условиях (4.4) более жесткое ограничение длины, нежели (4.13), которую можно интерпретировать как необходимое условие устойчивости при произвольных физически допустимых граничных условиях.

В общем случае решение уравнений (4.5), (3.9) относительно  $\omega$  затруднительно и едва ли целесообразно, так как граничные условия (4.1) введены как предположительные. Тем не менее кроме разобранного выше частного случая есть и другие, когда анализ удается довести до конца. К таким случаям относится распространение возмущений по покоящемуся фону ( $u_* = 0$ ).

5. Подробное обсуждение проведенного выше анализа с точки зрения физиологических приложений выходит за рамки настоящей работы. Поэтому ограничимся здесь лишь некоторыми общими замечаниями и выводами.

1°. Квазидономерное безынерционное приближение оправдано по крайней мере для артериол, т. е. для сосудов, у которых обнаружен или предполагается падающий участок на статической кривой  $p(R)$ : для этих сосудов (см., например, [1]) числа Рейнольдса не выше 0,05,  $L/R \geq 50$ ,  $L/L_p \leq 0,25$ .

2°. Для сосудов с характеристикой  $S$ -типа и совершенно идентичными свойствами стенки в зависимости от длины и условий движения крови возможны различные реакции, скажем, на увеличение входного давления. Достаточно короткий сосуд в этом случае уменьшит свой просвет (эффект автoreгуляции расхода), тогда как в длинном из-за потери устойчивости такой эффект не будет наблюдаться.

3°. В сосудах с характеристикой  $S$ -типа возможно распространение вверх по потоку волн, физическая природа которых, отличная от природы пульсовой волны или электрической волны возбуждения в мышце, связана с инициированием мышечной активности чисто механическим путем — через распространяющиеся изменения давления в сосуде. Поскольку дифференциальный модуль упругости  $G$ , по-видимому, резко растет вверх по потоку, то указанные волны должны ускоряться в направлении распространения.

4°. В длинных сосудах  $S$ -типа и сосудах  $N$ -типа развитие неустойчивостей может приводить к скачкообразным реакциям в ответ на малые изменения давления и, вероятно, к автоколебательным процессам.

Авторы признательны А. Г. Куликовскому за полезное обсуждение.

Поступила 9 IX 1974

#### ЛИТЕРАТУРА

- Гидродинамика кровообращения. М., «Мир», 1971.
- Хаюгин В. М. Механизмы управления сосудами работающей скелетной мышцы. Гистомеханическая гипотеза. В сб. «Проблемы современной физиологической науки». Л., «Наука», 1971.
- Johnson P. C. Autoregulatory responses of cat mesenteric arterioles measured in vivo. Circulat. Res., 1968, vol. 22, No. 2.
- Crane H. D. Switching properties in bubbles, balloons, capillaries and alveoli. J. Biomech., 1973, vol. 6, No. 4.
- Усик П. И. Континуальная механо-химическая модель мышечной ткани. ПММ, 1973, т. 37, вып. 3.
- Рейнер М. Реология. М., «Наука», 1965.
- Никитин Л. В., Хаюгин В. М. Теория измерения гидравлического сопротивления сосудов при воздействии управляющих сигналов. Физиол. ж. СССР, 1962, т. 48, № 7.
- Руткевич И. М. О распространении малых возмущений в вязко-упругой жидкости. ПММ, 1970, т. 34, вып. 1.
- Ахиезер А. И., Половин Р. В. Критерий нарастания волн. Усп. физ. н., 1971, т. 104, № 2.